

TE060 – Princípios de Comunicação

Sinais e Sistemas de Comunicação

Evelio M. G. Fernández

4 de agosto de 2014

Notes

Evelio M. G. Fernández TE060 – Sinais e Sistemas de Comunicação

Informação sobre a disciplina

- Terças e Quintas feiras das 15:30 às 17:20 horas
- Professor: Evelio Martín García Fernández
- Gabinete 9, Tel: 3361-3221, 9194-3363
- e-mail: evelio@eletrica.ufpr.br
- Página da Disciplina na Internet:
www.eletrica.ufpr.br/evelio/TE060/index.htm

Notes

Evelio M. G. Fernández TE060 – Sinais e Sistemas de Comunicação

Princípios de Comunicação – Conteúdo

1 Sinais e Sistemas de Comunicação;

- Representação de Sinais Determinísticos no Domínio do Tempo e no Domínio da Frequência;
- Sinais Aleatórios. Revisão de Processos Estocásticos;
- Transmissão de Sinais através de Sistemas Lineares;
- Sinais em Quadratura;

2 Sistemas de Modulação de Onda Contínua;

- Modulação de Amplitude;
- Modulação Angular;
- Efeito do Ruído em Sistemas com Modulação de Onda Contínua;

3 Sistemas de Modulação Digital;

- Modulação de Pulso;
- Transmissão Digital em Banda Base;
- Transmissão Digital em Banda Passante.

Notes

Evelio M. G. Fernández TE060 – Sinais e Sistemas de Comunicação

Princípios de Comunicação – Bibliografia

- Simon Haykin, *Sistemas de Comunicação*, 4^a Edição, Bookman, 2004.
- Simon Haykin e Michael Moher, *Sistemas de Comunicação*, 5^a Edição, Bookman, 2009.
- Simon Haykin e Michael Moher, *Introdução aos Sistemas de Comunicações*, 2^a Edição, Bookman, 2008.
- Leon W. Couch, *Digital and Analog Communication Systems*, 7th Edition, Prentice Hall, 2007.
- Bernard Sklar, *Digital Communications*, 2nd Edition, Prentice Hall 2004.

Notes

Princípios de Comunicação – Avaliação

- 1^a Prova (P1) 11/09/2014 15:30 Horas
- 2^a Prova (P2) 28/10/2014 15:30 Horas
- 3^a Prova (P3) 27/11/2014 15:30 Horas
- Média Final = $(P1 + P2 + P3)/3$
- Exame Final 09/12/2014 15:30 Horas

Nas provas e no exame será permitido consultar 01 (um) livro (NÃO PODE SER FOTOCÓPIA) e uma folha A4 manuscrita.

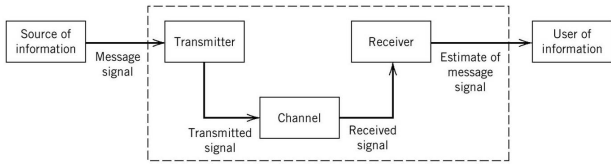
Notes

Processos de um Sistema de Comunicação

- Geração de um *sinal de mensagem*.
- Descrição da mensagem através de *símbolos elétricos*.
- *Codificação* dos símbolos de acordo com o meio físico de transmissão.
- *Transmissão* dos símbolos até o destino.
- *Decodificação e reprodução* dos símbolos originais.
- *Recriação* do sinal de mensagem original.

Notes

Elementos de um Sistema de Comunicação



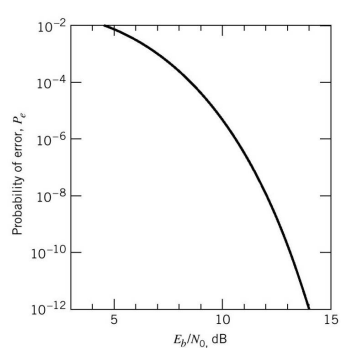
Notes

Recursos e Limitações de Sistemas de Comunicação

- Potência Transmitida → (SNR: *Signal-to-Noise Ratio*, C/N , S/N , E_b/N_0)
- Largura de Banda do Canal → Conteúdo Espectral
- Taxa de Erro de Bits → (BER: *Bit Error Rate*)
- Ruído
- Atenuação
- Distorção
- Interferências

Notes

Taxa de Erro de Bits



Notes

Fontes de Informação

- Fala, música, imagens, dados de computador, etc.
- Caracterizada em termos do sinal que carrega a informação

Sinal

Função do tempo que contém informação sobre o comportamento de algum fenômeno

Notes

Classificação de Sinais

- Sinais Determinísticos
- Sinais Aleatórios
- Sinais Periódicos
- Sinais não Periódicos
- Sinais Analógicos
- Sinais Discretos
- Sinais de Energia
- Sinais de Potência

Notes

Classificação de Sinais

- **Sinais Determinísticos**
 - Não há incerteza em relação com o seu valor em qualquer instante de tempo. Ex: $x(t) = A \cos(2\pi f_0 t + \phi_0)$, A, f_0, ϕ_0 : constantes conhecidas.
- **Sinais Aleatórios**
 - Há algum grau de incerteza sobre o seu valor. Observado durante um longo período de tempo ⇒ **processo aleatório**: exibe determinadas regularidades que podem ser descritas em termos de probabilidades e médias estatísticas.

Notes

Classificação de Sinais

- **Sinais Periódicos:** $x(t) = x(t + T_0)$, $-\infty < t < \infty$
- **Sinais não Periódicos:** Ex: pulsos, sinais digitais
- **Sinal Analógico:**
 - $x(t) \rightarrow$ função contínua do tempo \Rightarrow é unicamente definida para todo t
- **Sinal Discreto:**
 - $x[kT], k = 0, \pm 1, \pm 2, \dots \rightarrow$ somente existe em valores discretos de tempo
 - **Sinal Digital:** tempo e amplitude têm valores discretos

Notes

Sinais de Energia e Sinais de Potência

- Sinal elétrico, $x(t)$: tensão, $v(t)$, ou corrente, $i(t)$, com potência instantânea $p(t)$ dada por:
$$p(t) = v^2(t)/R = i^2(t)R. \text{ Supondo } R = 1\Omega, \Rightarrow p(t) = x^2(t)$$
- A energia dissipada durante o intervalo de tempo $(-T/2, T/2)$ por um sinal real com potência instantânea $p(t)$ é,

$$E_X^T = \int_{-\frac{T}{2}}^{\frac{T}{2}} x^2(t) dt$$

Notes

Sinais de Energia e Sinais de Potência

- A potência média dissipada pelo sinal durante esse intervalo é,

$$P_X^T = \frac{1}{T} E_X^T = \frac{1}{T} \int_{-\frac{T}{2}}^{\frac{T}{2}} x^2(t) dt$$

Potência Média

É a taxa à qual a energia é liberada. \rightarrow Determina a tensão (ou corrente) que deve ser aplicada a um transmissor, intensidade de campo magnético, ...

Notes

Sinais de Energia e Sinais de Potência

- **Sinais de Energia:** $0 < E_X < \infty$. Onde,

$$E_X = \lim_{T \rightarrow \infty} E_X^T = \lim_{T \rightarrow \infty} \int_{-\frac{T}{2}}^{\frac{T}{2}} x^2(t) dt = \int_{-\infty}^{\infty} x^2(t) dt$$

- **Sinais de Potência:** $0 < P_X < \infty$. Onde,

$$P_X = \lim_{T \rightarrow \infty} P_X^T = \lim_{T \rightarrow \infty} \frac{1}{T} \int_{-\frac{T}{2}}^{\frac{T}{2}} x^2(t) dt$$

Lembrar que: $\lim_{T \rightarrow \infty} \frac{1}{T} \int_{-\frac{T}{2}}^{\frac{T}{2}} [\cdot] dt = \langle [\cdot] \rangle \rightarrow \text{média temporal.}$

Para sinais periódicos: $\langle [\cdot] \rangle = \frac{1}{T_0} \int_{-\frac{T_0}{2}+a}^{\frac{T_0}{2}+a} [\cdot] dt$

Notes

Algumas Funções Importantes

- **Degrau unitário:** $u(t) = \begin{cases} 0, & t < 0 \\ 1, & t \geq 0 \end{cases}$
- **Função Sinal:** $\text{sgn}(t) = \begin{cases} -1, & t < 0 \\ 1, & t > 0 \\ 0, & t = 0 \end{cases}$
- **Pulso retangular:** $\text{rect}(t) = \begin{cases} -1, & -\frac{1}{2} < t < \frac{1}{2} \\ 0, & \text{fora} \end{cases}$
- **Impulso unitário:**
 - ① $\int_{-\infty}^{\infty} \delta(t) dt = 1$
 - ② $\delta(at) = \frac{1}{|a|} \delta(t)$
 - ③ $x(t)\delta(t-t_0) = x(t_0)\delta(t-t_0)$
 - ④ $\int_{-\infty}^{\infty} x(t)\delta(t-t_0) dt = x(t_0)$
- **Função sinc:** $\text{sinc}(t) = \frac{\sin(\pi t)}{\pi t}$

Notes

Sinais Fisicamente Realizáveis

Exercício 1: Determine se os seguintes sinais são de energia ou de potência.

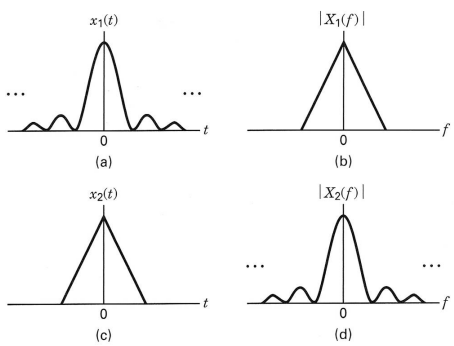
- $x_1(t) = e^{-2t}u(t);$
- $x_2(t) = e^{j(2t+\pi/4)};$
- $x_3(t) = \cos(t).$

Sinais (formas de onda) fisicamente realizáveis satisfazem as seguintes condições:

- Têm valores significativos de amplitude diferentes de zero sobre um intervalo finito de tempo;
- O espectro de frequências tem valores significativos sobre um intervalo finito de frequências;
- São funções contínuas do tempo;
- Têm um valor pico finito;
- Formas de onda fisicamente realizáveis somente têm valores reais.

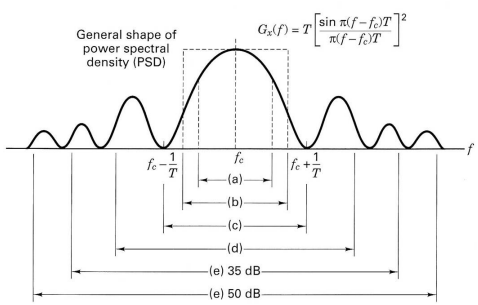
Notes

Dependência Tempo-Frequêcia



Notes

O Dilema da Largura de Banda



Bandwidth of digital data. (a) Half-power, (b) Noise equivalent, (c) Null to null, (d) 99% of power, (e) Bounded PSD (defines attenuation outside bandwidth) at 35 and 50 dB.

Notes

Série de Fourier (forma trigonométrica)

Seja: $g_{T_0}(t) \rightarrow$ sinal periódico com período $T_0 = \frac{1}{f_0}$:

$$g_{T_0}(t) = a_0 + 2 \sum_{n=1}^{\infty} [a_n \cos(2\pi n f_0 t) + b_n \sin(2\pi n f_0 t)], \text{ onde:}$$

$$a_0 = \frac{1}{T_0} \int_{-\frac{T_0}{2}}^{\frac{T_0}{2}} g_{T_0}(t) dt,$$

$$a_n = \frac{1}{T_0} \int_{-\frac{T_0}{2}}^{\frac{T_0}{2}} g_{T_0}(t) \cos(2\pi n f_0 t) dt, \quad n = 1, 2, \dots$$

$$b_n = \frac{1}{T_0} \int_{-\frac{T_0}{2}}^{\frac{T_0}{2}} g_{T_0}(t) \sin(2\pi n f_0 t) dt, \quad n = 1, 2, \dots$$

Notes

Série de Fourier (forma exponencial)

$$g_{T_0}(t) = a_0 + 2 \sum_{n=1}^{\infty} [(a_n - jb_n) \exp(j2\pi n f_0 t) + (a_n + jb_n) \exp(-j2\pi n f_0 t)]$$

Seja, $c_n = \begin{cases} a_n - jb_n, & n > 0 \\ a_0, & n = 0 \\ a_n + jb_n, & n < 0 \end{cases}$

$$\Rightarrow g_{T_0}(t) = \sum_{n=-\infty}^{\infty} c_n \exp(j2\pi n f_0 t)$$

onde,

$$c_n = \frac{1}{T_0} \int_{-\frac{T_0}{2}}^{\frac{T_0}{2}} g_{T_0}(t) \exp(-j2\pi n f_0 t) dt, \quad n = 0, \pm 1, \pm 2, \dots$$

Notes

Algumas propriedades da série exponencial de Fourier

- ① Se $g(t)$ é real,

$$c_n = c_{-n}^*, \quad \arg(c_n) = -\arg(c_{-n}), \quad c_n = |c_n| \exp[\arg(c_n)]$$

- ② Se $g(t)$ é real e par [isto é, $g(t) = g(-t)$],

$$\Im[c_n] = 0$$

- ③ Se $g(t)$ é real e ímpar [isto é, $g(t) = -g(-t)$],

$$\Re[c_n] = 0$$

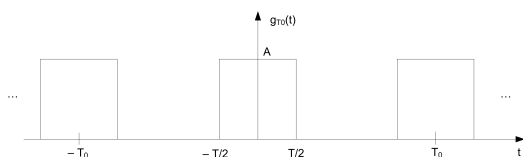
- ④ Teorema de Parseval:

$$\frac{1}{T_0} \int_a^{a+T_0} |g(t)|^2 dt = \sum_{n=-\infty}^{\infty} |c_n|^2.$$

Notes

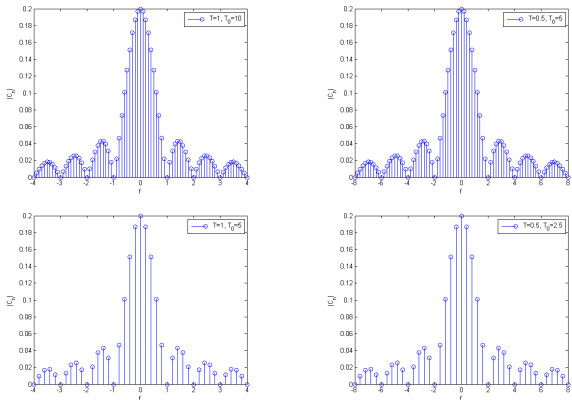
Exemplo

Determinar o espectro de amplitudes de um trem periódico de pulsos retangulares de amplitude A , duração T e período T_0



$$\begin{aligned} c_n &= \frac{1}{T_0} \int_{-T/2}^{T/2} A \exp(-j2\pi n f_0 t) dt = \frac{A}{T_0} \left[-\frac{1}{j2\pi n f_0} \exp(-j2\pi n f_0 t) \right]_{-T/2}^{T/2} \\ &= \frac{TA}{T_0} \text{sinc}\left(\frac{nT}{T_0}\right) \end{aligned}$$

Notes



Notes

Transformada de Fourier

$$g(t) \Rightarrow G(f)$$

$$G(f) = \mathcal{F}[g(t)] = \int_{-\infty}^{\infty} g(t) e^{-j2\pi ft} dt$$

$$g(t) = \mathcal{F}^{-1}[G(f)] = \int_{-\infty}^{\infty} G(f) e^{j2\pi ft} df$$

$$G(f) = X(f) + jY(f)$$

$$G(f) = |G(f)| e^{j\theta(f)}$$

$$|G(f)| = \sqrt{X^2(f) + Y^2(f)} \text{ e } \theta(f) = \tan^{-1} \left(\frac{Y(f)}{X(f)} \right)$$

Notes

Algumas propriedades da Trasformada de Fourier

- ① Se $g(t)$ é real, então

$$\begin{aligned} G(-f) &= G^*(f) \\ |G(-f)| &= |G(f)| \\ \theta(-f) &= -\theta(f) \end{aligned}$$

- ② Teorema de Parseval:

$$\int_{-\infty}^{\infty} g_1(t) g_2^*(t) dt = \int_{-\infty}^{\infty} G_1(f) G_2^*(f) df$$

Se $g_1(t) = g_2(t) = g(t) \Rightarrow$ Teorema da Energia de Rayleigh:

$$E = \int_{-\infty}^{\infty} |g(t)|^2 dt = \int_{-\infty}^{\infty} |G(f)|^2 df.$$

Notes

Pares de Transformadas de Fourier

Notes

Domínio do tempo	Domínio da transformada
$\delta(t)$	1
1	$\delta(f)$
$\delta(t - t_0)$	$e^{-j2\pi f t_0}$
$e^{j2\pi f_0 t}$	$\delta(f - f_0)$
$\cos(2\pi f_0 t)$	$\frac{1}{2}[\delta(f + f_0) + \delta(f - f_0)]$
$\sin(2\pi f_0 t)$	$\frac{j}{2}[\delta(f + f_0) - \delta(f - f_0)]$
$\text{rect}(\frac{t}{T})$	$\text{sinc}(\frac{\pi f}{T})$
$2W\text{sinc}(2Wt)$	$\text{rect}(\frac{f}{2W})$
$e^{-at^2}, \alpha > 0$	$\frac{1}{\alpha^2 + (2\pi f)^2}$
$e^{-at^2}, \alpha > 0$	$\frac{1}{\alpha^2 + (2\pi f)^2}$
$e^{-\pi t^2}$	$e^{-\pi f^2}$
$\text{sgn}(t)$	$\frac{1}{j\pi f}$
$u(t)$	$\frac{1}{2}\delta(f) + \frac{1}{j2\pi f}$
$\sum_{n=-\infty}^{\infty} \delta(t - nT_0)$	$\frac{1}{T_0} \sum_{n=-\infty}^{\infty} \delta(f - \frac{n}{T_0})$

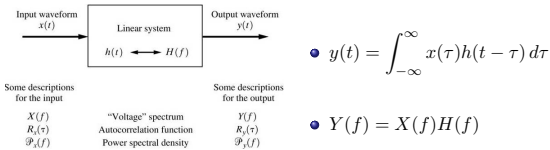
Propriedades da Transformadas de Fourier

Notes

$g_i(t) = \mathcal{F}^{-1}[G_i(f)]$	$\iff G_i(f) = \mathcal{F}[g_i(t)]$	
$g(t) = ag_1(t) + bg_2(t)$	$\iff G(f) = aG_1(f) + bG_2(f)$	Linearidade
$G(t)$	$\iff g(-f)$	Dualidade
$g(at)$	$\iff \frac{1}{ a }G(\frac{f}{a})$	Mudança de escala no tempo
$g(t - \tau)$	$\iff G(f)e^{-j2\pi f\tau}$	Deslocamento da função no tempo
$g(t)e^{j2\pi f_0 t}$	$\iff G(f - f_0)$	Deslocamento da função na frequência
$\frac{d}{dt}g(t)$	$\iff j2\pi f G(f)$	Derivação no tempo
$\int_{-\infty}^t g(\tau) d\tau$	$\iff \frac{G(f)}{j2\pi f} + \frac{1}{2}G(0)\delta(f)$	Integração no tempo
$g^*(t)$	$\iff G^*(-f)$	Conjugação no tempo
$g_1(t) * g_2(t)$	$\iff G_1(f)G_2(f)$	Convolução no tempo
$g(t) \cos 2\pi f_0 t$	$\iff \frac{1}{2}[G(f + f_0) + G(f - f_0)]$	Modulação
$\int_{-\infty}^{\infty} g(t) ^2 dt$	$\iff \int_{-\infty}^{\infty} G(f) ^2 df$	Teorema de Parseval

Transmissão de Sinais através de Sistemas Lineares

Notes



Integral de Convolução

Integral ponderada (de acordo com $h(t)$) sobre a história passada do sinal de entrada onde,

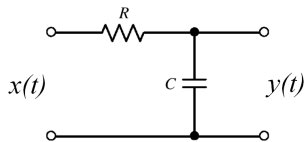
- τ – tempo de excitação;
- t – tempo de resposta;
- $(t - \tau)$ – memória do sistema.

Exercícios

Exercício 2: Considere o sinal $g(t) = \frac{2a}{(2\pi t)^2 + a^2}$, $a > 0$.

Determine o valor de B tal que a faixa de frequências $[-B, B]$ contenha 99% da energia total de $g(t)$.

Exercício 3: Considere o circuito RC mostrado na figura.
Determine $H(f)$ e $h(t)$.



Notes

Exercício 4

Considere o sinal $x(t) = 10 \cos(2\pi f_1 t) + 5 \cos(4\pi f_1 t)$ onde $f_1 = 2\text{kHz}$. Este sinal é enviado através de um sistema linear invariante no tempo com resposta impulsiva $h(t) = 1$ para $t \in [0,1\text{ms}]$ e zero fora desse intervalo. Seja $y(t)$ a saída do sistema linear. Determine:

- A transformada de Fourier do sinal $x(t)$;
- A potência média de $x(t)$;
- A função de transferência do sistema, esboçando a resposta de amplitude;
- O sinal de saída, $y(t)$;
- A potência média do sinal de saída $y(t)$.

Notes

Variáveis Aleatórias

- Variável aleatória, X : número que descreve o valor de uma amostra de um experimento aleatório;
- Função de distribuição cumulativa (cdf): $F_X(x) = \mathcal{P}[X \leq x]$;
- Função densidade de probabilidade (pdf): $f_X(x) = \frac{d}{dx}F_X(x)$;
- $\mathcal{P}[x_1 < X \leq x_2] = \int_{x_1}^{x_2} f_X(x) dx$;
- $\int_{-\infty}^{\infty} f_X(x) dx = 1$.

Notes

Médias Estatísticas (Momentos)

Momentos de ordem n : $E[X^n] = \int_{-\infty}^{\infty} x^n f_X(x) dx$

- $n = 1 \rightarrow E[X] = \int_{-\infty}^{\infty} x f_X(x) dx = \mu_X$ (média)

- $n = 2 \rightarrow E[X^2] = \int_{-\infty}^{\infty} x^2 f_X(x) dx$ (valor médio médio quadrático)

Momentos centrais de ordem n : $E[(X - \mu_X)^n] = \int_{-\infty}^{\infty} (x - \mu_X)^n f_X(x) dx$

- $n = 1 \rightarrow E[(X - \mu_X)] = 0$

- $n = 2 \rightarrow E[(X - \mu_X)^2] = \int_{-\infty}^{\infty} (x - \mu_X)^2 f_X(x) dx$ (variância, σ_X^2)

- $\sigma_X^2 = E[X^2] - \mu_X^2$

Notes

Exemplo

Seja V uma variável aleatória contínua com CDF dada por:

$$F_V(v) = \begin{cases} 0, & v < 5, \\ (v + 5)^2 / 144, & -5 \leq v < 7, \\ 1, & v \geq 7. \end{cases}$$

Determine:

- a) $E[V]$;
- b) σ_V^2 ;
- c) $E[V^3]$.

Notes

Duas Variáveis Aleatórias

- $F_{X,Y}(x,y) = \mathcal{P}[X \leq x, Y \leq y]$;

- $f_{X,Y}(x,y) = \frac{\partial^2 F_{X,Y}(x,y)}{\partial x \partial y}$;

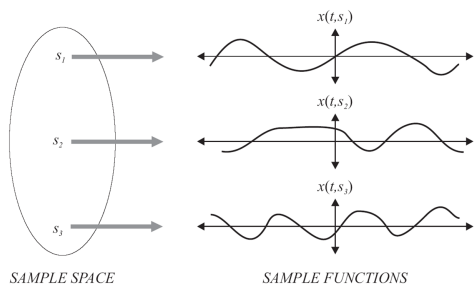
- $\mathcal{P}[x_1 < X \leq x_2, y_1 < Y \leq y_2] = \int_{x_1}^{x_2} \int_{y_1}^{y_2} f_{X,Y}(x,y) dx dy$;

- $\int_{-\infty}^{\infty} \int_{-\infty}^{\infty} f_{X,Y}(x,y) dx dy = 1$.

Notes

Processo Aleatório

Processo Aleatório (ou Estocástico), $X(t)$: Função aleatória do tempo para modelar formas de onda desconhecidas.



Notes

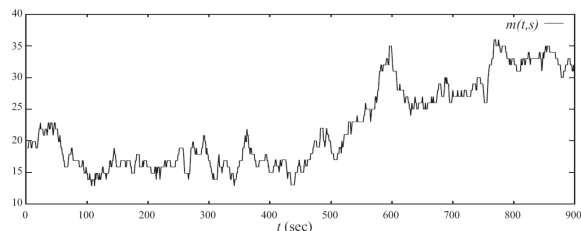
Processos Estocásticos – Definições

- **Processo Estocástico, $X(t)$:** Consiste de um experimento com uma medida de probabilidade $\mathcal{P}[\cdot]$ definida num espaço amostral S e uma função que atribui uma função do tempo $x(t,s)$ a cada realização (função amostra) s no espaço amostral do experimento.
- **Função amostra $x(t,s)$:** Função do tempo associada com o resultado s de um experimento (**sinal aleatório**).
- **Ensemble:** Conjunto de todas as possíveis funções do tempo que podem resultar de um experimento.

Notes

Exemplo

Registro, $M(t)$, do número de chamadas em andamento contabilizadas num comutador telefônico a cada segundo sobre um intervalo de 15 minutos:

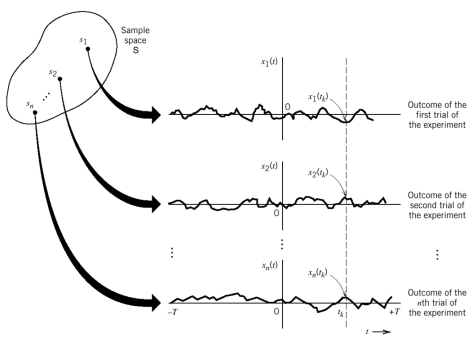


Média de ensemble: Número médio de chamadas em andamento, por exemplo, $t = 403$ segundos.

Média temporal: Número médio de chamadas em andamento durante um determinado intervalo de 15 minutos.

Notes

Processo Aleatório



Notes

Processo Aleatório

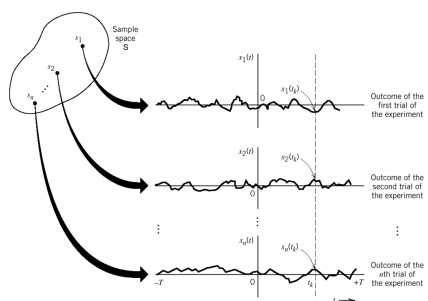
- Um processo aleatório, observado num instante de tempo é uma variável aleatória;
- Processo Aleatório: conjunto indexado de V.A. onde o índice é o tempo;
- Para uma V.A.: o resultado de um experimento aleatório é associado a um número;
- Para um processo aleatório: o resultado de um experimento aleatório é associado a uma forma de onda que é uma função do tempo.

Notes

Processos Aleatórios: Caracterização Estatística

Função de Distribuição Conjunta:

$$F_{X(t_1)X(t_2)\dots X(t_k)}(x_1, x_2, \dots, x_k)$$



Notes

Valor Esperado e Autocorrelação

- O **valor esperado** de um processo estocástico $X(t)$ é a função determinística do tempo

$$\mu_X(t) = E[X(t)] = \int_{-\infty}^{\infty} xf_{X(t)}(x)dx$$

- A função de **autocorrelação** do processo estocástico $X(t)$ é

$$R_X(t_1, t_2) = E[X(t_1)X(t_2)] = \int_{-\infty}^{\infty} \int_{-\infty}^{\infty} x_1 x_2 f_{X(t_1)X(t_2)}(x_1, x_2) dx_1 dx_2$$

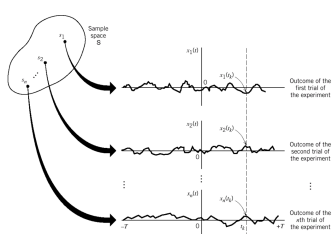
Notes

Exercício 5

Dado um processo aleatório $X(t)$ com valor esperado $\mu_X(t)$ e autocorrelação $R_X(t_1, t_2)$ considere a observação de $Y(t) = X(t) + N(t)$ onde $N(t)$ é um processo aleatório de ruído com $\mu_N(t) = 0$ e autocorrelação $R_N(t_1, t_2)$. Supondo que o processo de ruído é independente de $X(t)$, determine o valor esperado e a autocorrelação de $Y(t)$.

Notes

Processos Estacionários

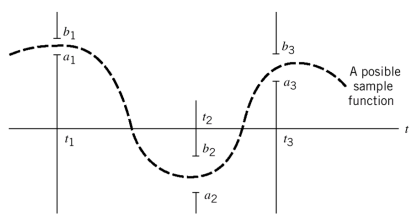


Processo Aleatório Estacionário (no sentido estrito): A sua caracterização estatística é independente do tempo em que a observação do processo é iniciada:

$$F_{X(t_1+\tau)X(t_2+\tau)\dots X(t_k+\tau)}(x_1, x_2, \dots, x_k) = F_{X(t_1)X(t_2)\dots X(t_k)}(x_1, x_2, \dots, x_k)$$

Notes

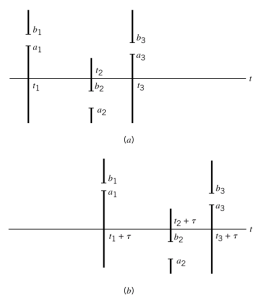
Processo Aleatório Estacionário



Questão: Avaliar a probabilidade de obtermos uma função amostra $x(t)$ de um processo aleatório $X(t)$ que 'passe' através deste conjunto de janelas de amplitude.

Notes

Processo Aleatório Estacionário

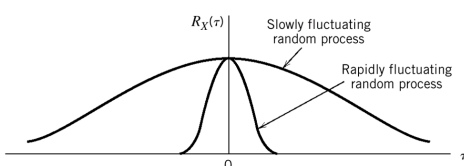


Notes

Propriedades de Processos Estacionários

- Se $X(t)$ é um processo aleatório estacionário, então $Y(t) = aX(t) + b$ é também um processo estacionário;
- $\mu_X(t) = \mu_X$;
- $R_X(t_1, t_2) = R_X(t_2 - t_1) = R_X(\tau)$, onde $\tau = t_2 - t_1$;
- $X(t)$ é um processo estocástico estacionário no sentido amplo se para todo t ,

$$E[X(t)] = \mu_X \text{ e } R_X(t_1, t_2) = R_X(\tau).$$



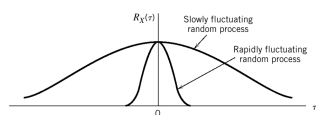
Notes

Propriedades da Função de Autocorrelação

1 $R_X(0) = E[X^2(t)]$

2 $R_X(\tau) = R_X(-\tau)$

3 $|R_X(\tau)| \leq R_X(0)$

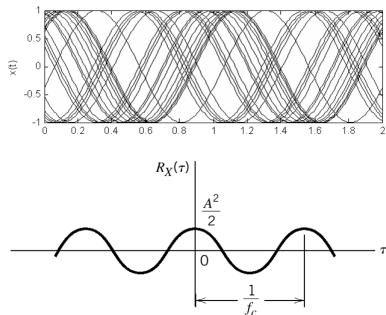


$R_X(\tau) \rightarrow$ descreve a interdependência de duas variáveis aleatórias obtidas observando-se um processo aleatório $X(t)$ em instantes de tempo τ segundos separados.

Notes

Exemplo: Onda Senoidal com Fase Aleatória

Considere o processo aleatório $X(t) = A \cos(2\pi f_c t + \Theta)$, onde Θ é uma variável aleatória uniformemente distribuída no intervalo $[0, 2\pi]$. Determine o valor esperado e a autocorrelação deste processo.



Notes

Processos Ergódicos

Médias Temporais de Funções Amostra:

• $\bar{X}(T) = \frac{1}{2T} \int_{-T}^T x(t) dt$

• $\bar{X^2}(T) = \frac{1}{2T} \int_{-T}^T x^2(t) dt$

• $R_X(\tau, T) = \frac{1}{2T} \int_{-T}^T x(t + \tau)x(t) dt$

O processo $X(t)$ é **ergódico para a média** se,

• $\lim_{T \rightarrow \infty} \bar{X}(T) = \mu_X$

• $\lim_{T \rightarrow \infty} \text{Var}[\bar{X}(T)] = 0$

Notes

Processos Ergódicos

O processo $X(t)$ é **ergódico na função de autocorrelação** se,

- $\lim_{T \rightarrow \infty} R_X(\tau, T) = R_X(\tau)$

- $\lim_{T \rightarrow \infty} \text{Var}[R_X(\tau, T)] = 0$

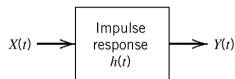
Exemplo: Considere o processo $X(t) = A \cos(\omega_0 t + \Theta)$, onde Θ é uma variável aleatória com densidade uniforme no intervalo $[0, 2\pi]$, e A é uma V. A. discreta, sendo $\mathcal{P}[A=1] = \mathcal{P}[A=2] = \frac{1}{2}$.

a) Calcule $E[X(t)]$, $R_X(t_1, t_2)$, e $\sigma_X^2(t)$.

b) Esse processo é ergódico na média? E na autocorrelação?

Notes

Transmissão de um Sinal Aleatório através de um Sistema Linear



- $Y(t) = \int_{-\infty}^{\infty} h(u)X(t-u) du = \int_{-\infty}^{\infty} h(t-u)X(u) du$

- $E[Y(t)] = E\left[\int_{-\infty}^{\infty} h(u)X(t-u) du\right] = \int_{-\infty}^{\infty} h(u)E[X(t-u)] du$

Se $X(t) \rightarrow$ estacionário no sentido amplo:

- $\mu_Y = E[Y(t)] = \mu_X \int_{-\infty}^{\infty} h(u) du = \mu_X H(0)$

- $R_Y(\tau) = \int_{-\infty}^{\infty} h(u) \int_{-\infty}^{\infty} h(v)R_X(\tau+u-v)dv du$

Notes

Densidade Espectral de Potência

Seja $X_T(f) = \int_{-T}^T x(t)e^{-j2\pi ft} dt$ a transformada de Fourier da versão truncada de uma função amostra $x(t)$ de um processo aleatório estacionário no sentido amplo $X(t)$.

Densidade Espectral de Potência:

$$S_X(f) = \lim_{T \rightarrow \infty} \frac{1}{2T} E [|X_T(f)|^2] = \lim_{T \rightarrow \infty} \frac{1}{2T} E \left[\left| \int_{-T}^T x(t)e^{-j2\pi ft} dt \right|^2 \right]$$

Notes

Teorema de Wiener-Khintchine

$$S_X(f) = \int_{-\infty}^{\infty} R_X(\tau)e^{-j2\pi f\tau} d\tau, \quad R_X(\tau) = \int_{-\infty}^{\infty} S_X(f)e^{j2\pi f\tau} df$$

Propriedades de $S_X(f)$

① $S_X(0) = \int_{-\infty}^{\infty} R_X(\tau) d\tau$

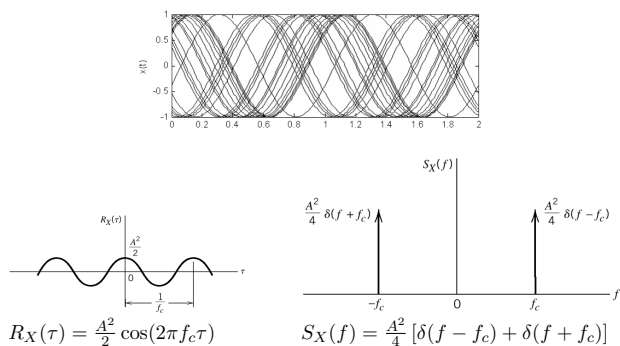
② $E[X^2(t)] = \int_{-\infty}^{\infty} S_X(f) df$

③ $S_X(f) \geq 0$

④ $S_X(-f) = S_X(f)$ se o processo aleatório for real

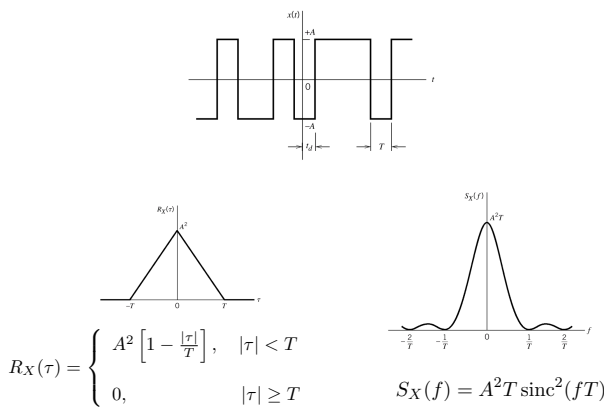
Notes

Exemplo: Onda senoidal com fase aleatória



Notes

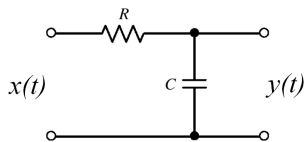
Exemplo: Sequência Binária Aleatória



Notes

$$S_Y(f) = |H(f)|^2 S_X(f)$$

Exercício 6: Uma função amostra de processo aleatório estacionário no sentido amplo $X(t)$ com função de autocorrelação $R_X(\tau) = e^{-b|\tau|}$ é o sinal de entrada de um filtro RC passa-baixas. Supondo $b > 0$ e $b \neq 1$, determine $S_Y(f)$ e $R_Y(\tau)$. Determine a potência média do processo de saída.

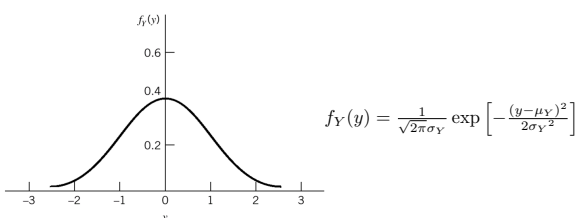


Processos Gaussianos

- $X(t)$ é um processo Gaussiano se $\mathbf{X} = [X(t_1) \ \dots \ X(t_k)]'$ é um vetor Gaussiano.
 - Se $X(t)$ é um processo Gaussiano estacionário no sentido amplo, então $X(t)$ é um processo Gaussiano estacionário.
 - Se as V.A.s $X(t_1), X(t_2), \dots, X(t_n)$ de um processo Gaussiano não são correlacionadas, ou seja, se

$$E [(X(t_k) - \mu_{X(t_k)}) (X(t_i) - \mu_{X(t_i)})] = 0, \quad i \neq k$$
 então essas V.A.s são estatisticamente independentes.
 - Seja $X(t)$ um processo Gaussiano na entrada de um sistema linear invariante no tempo, então o processo na saída do sistema continua sendo Gaussiano.

Processos Gaussianos



Teorema do Límite Central

O efeito soma devido a um grande número de causas independentes tende a um processo Gaussiano:

$Y \equiv X_1 + X_2 + \dots + X_n \approx$ Gaussiana para $n \rightarrow \infty$

Notes

Notes

Notes

Ruído

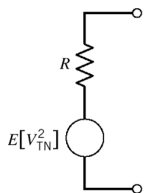
Ruído

Sinais indesejáveis que perturbam a transmissão e o processamento de sinais no receptor e que são incontroláveis.

- Fontes externas: ruído atmosférico, galáctico e ruído provocado pelo homem;
- Fontes internas: flutuações espontâneas de corrente ou tensão em circuitos elétricos;
 - Ruído Impulsivo: Resulta da natureza discreta da corrente;
 - Ruído Térmico: Resulta do movimento aleatório de elétrons em um condutor.

Notes

Modelo Equivalente de Ruído Térmico



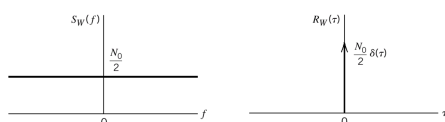
$$E[V_{TN}^2] = 4kT\Delta f(\text{Volts})^2$$

k – Constante de Boltzmann ($k = 1,38 \times 10^{-23}$ Joules/K)
 T – Temperatura em K
 R – Resistência em Ohms
 Δf – Largura de banda em Hz

Notes

Ruído Branco

Ruído Branco: Forma idealizada cuja densidade espectral de potência é independente da frequência de operação



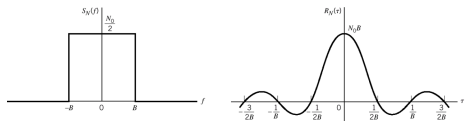
Notes

Temperatura equivalente de ruído do receptor ($N_0 = kT_e$)

Temperatura na qual um resistor ruidoso tem de ser mantido a fim de que, conectando-se o resistor à entrada de uma versão sem ruído, ele produza a mesma potência disponível de ruído na saída do sistema que a produzida por todas as fontes de ruído do sistema real.

Figura de Ruído: $F = \frac{T + T_e}{T}$ (medida com entrada casada e com a fonte de ruído à temperatura T).

Exemplo: Ruído na saída de um filtro passa-baixas ideal

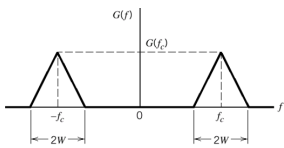


$$S_N(f) = \begin{cases} \frac{N_0}{2}, & -B < f < B \\ 0, & |f| > B \end{cases} \quad R_N(\tau) = \int_{-\infty}^{\infty} \frac{N_0}{2} e^{j2\pi f \tau} df = N_0 B \operatorname{sinc}(2B\tau)$$

Notes

Sinais de Banda Estreita e Envoltória Complexa

$g(t) \rightarrow$ sinal de banda estreita ou sinal passa-faixa,



$\tilde{g}(t) = \Re[\tilde{g}(t) \exp(j2\pi f_c t)]$, onde $\tilde{g}(t) \rightarrow$ Envoltória Complexa de $g(t)$

$\tilde{g}(t) = g_I(t) + jg_Q(t) \Rightarrow g(t) = g_I(t) \cos(2\pi f_c t) - g_Q(t) \sin(2\pi f_c t)$ onde,

$g_I(t) : \text{componente em fase}$
 $g_Q(t) : \text{componente em quadratura}$ } Sinais passa-baixas de valor real.

Notes

Transformada de Hilbert

$$\begin{aligned} g(t) &\rightleftharpoons \hat{g}(t) \\ \hat{g}(t) &= \frac{1}{\pi} \int_{-\infty}^{\infty} \frac{g(\tau)}{t - \tau} d\tau \\ g(t) &= \frac{1}{\pi} \int_{-\infty}^{\infty} \frac{\hat{g}(\tau)}{t - \tau} d\tau \end{aligned}$$

Transformada de Hilbert: Desloca os ângulos de fase de todos os componentes de frequência de um determinado sinal em ± 90 graus.

Notar que $\hat{g}(t)$ é a convolução de $g(t)$ com a função $\frac{1}{\pi t}$.

Sabendo que $\frac{1}{\pi t} \rightleftharpoons -j\operatorname{sgn}(f)$,

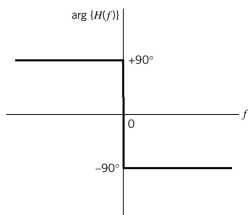
$$\Rightarrow \hat{G}(f) = -j\operatorname{sgn}(f)G(f).$$

Notes

Característica de Fase de um Transformador de Hilbert

$\hat{G}(f) = -j \operatorname{sgn}(f) G(f) \Rightarrow$ pode-se obter $\hat{g}(t)$ fazendo-se passar $g(t)$ por um sistema com função de transferência

$$H(f) = -j \operatorname{sgn}(f) :$$



Notes

Algumas propriedades da Transformada de Hilbert

- ① $g(t)$ (real) e $\hat{g}(t)$ têm o mesmo espectro de magnitude;
- ② Se $\hat{g}(t)$ é a T.H de $g(t)$, então a T.H de $\hat{g}(t)$ será $-g(t)$;
- ③ $g(t)$ e $\hat{g}(t)$ são ortogonais ao longo do intervalo $(-\infty, \infty)$,

$$\Rightarrow \int_{-\infty}^{\infty} g(t)\hat{g}(t) dt = 0.$$

Notes

Envoltória Complexa

Definir: $g_+(t) = g(t) + j\hat{g}(t) \rightarrow$ pré-envoltória ou sinal analítico.

No domínio da frequência: $G_+(f) = G(f) + \operatorname{sgn}(f)G(f)$,

$$\Rightarrow G_+(f) = \begin{cases} 2G(f), & 0f > 0, \\ G(0), & f = 0, \\ 0, & f < 0. \end{cases}$$

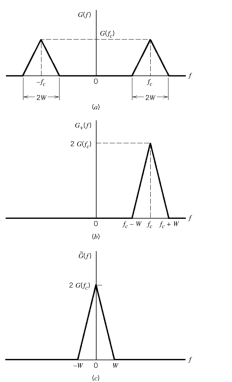


Notes

$$g_+(t) = \tilde{g}(t) \exp(j2\pi f_c t) \Rightarrow \tilde{g}(t) = g_+(t) \exp(-j2\pi f_c t)$$

Lembrando que: $x(t) \exp(j2\pi f_c t) \Leftrightarrow X(f - f_c)$,

Envoltória Complexa



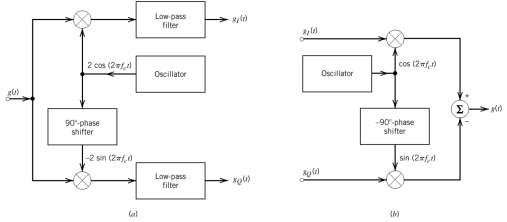
(a) Espectro de magnitud de $g(t)$

(b) Espectro de magnitude da pré-envoltória $g_+(t)$

(c) Espectro de magnitude da envoltória complexa $\tilde{g}(t)$

Notes

$$\begin{aligned} g(t) &= \Re[\tilde{g}(t) \exp(j2\pi f_c t)] \\ &= \Re\{\{g_I(t) + jg_Q(t)\} \exp(j2\pi f_c t)\} \\ &= \Re\{\{g_I(t) + jg_Q(t)\} [\cos(2\pi f_c t) + j \sin(2\pi f_c t)]\} \\ &= g_I(t) \cos(2\pi f_c t) - g_Q(t) \sin(2\pi f_c t). \end{aligned}$$



Evelio M. G. Fernández TE060 – Sinais e Sistemas de Comunicação

Formas Lineares de Modulação

$$\tilde{g}(t) = g_I(t) + jg_Q(t) = a(t) \exp[\phi(t)],$$

$a(t)$ e $\phi(t) \rightarrow$ funções passa-baixas de valor real.

$$\Rightarrow g(t) = \Re[\tilde{g}(t) \exp(j2\pi f_c t)] = \Re[a(t) \exp(j[2\pi f_c t + \phi(t)])] = a(t) \cos[2\pi f_c t + \phi(t)].$$

Modulação de Amplitude: Informação transportada pela envoltória da portadora de RF:

$$a(t) = |\tilde{g}(t)| = \sqrt{g_I^2(t) + g_Q^2(t)}.$$

Modulação de Fase: Informação transportada pela fase da portadora de RF.

$$\phi(t) = \arctan \left[\frac{g_Q(t)}{g_I(t)} \right] = \Im(\ln[\tilde{g}(t)]).$$

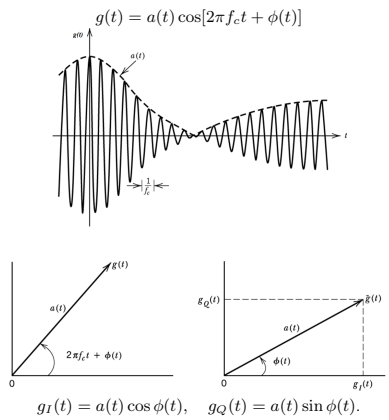
Modulação de Frequência: Informação transportada pela diferença entre o valor da frequência instantânea da portadora de RF modulada e o valor da frequência portadora, f_c :

$$\frac{d\phi(t)}{dt} = \frac{d}{dt} \left(\arctan \left[\frac{g_Q(t)}{g_I(t)} \right] \right).$$

Notes

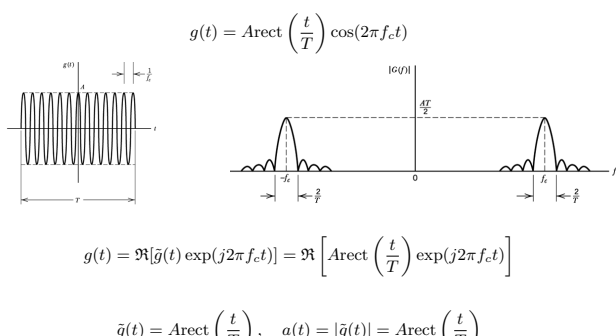
Notes

Sinais Passa-Faixas e Envoltória Complexa



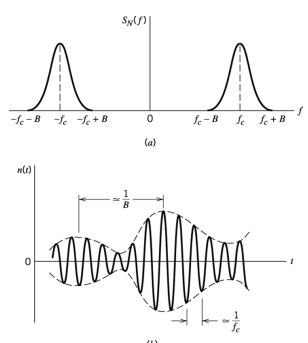
Notes

Exemplo: Pulso de RF



Notes

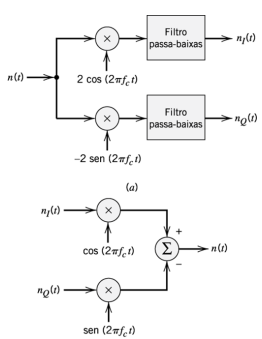
Ruído de Banda Estreita



$$n(t) = n_I(t) \cos(2\pi f_c t) - n_Q(t) \sin(2\pi f_c t)$$

Notes

Ruído de Banda Estreita: Componentes em Fase e Quadratura



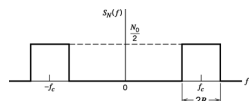
Notes

Propriedades de $n_I(t)$ e $n_Q(t)$

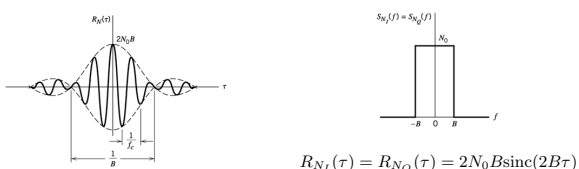
- ① $n_I(t)$ e $n_Q(t)$ têm valor médio igual a zero.
- ② Se $n(t)$ for Gaussiano, então $n_I(t)$ e $n_Q(t)$ serão conjuntamente Gaussianas.
- ③ Se $n(t)$ for estacionário, então $n_I(t)$ e $n_Q(t)$ serão conjuntamente estacionárias.
- ④ $n_I(t)$ e $n_Q(t)$ têm a mesma densidade espectral de potência dada por
$$S_{N_I}(f) = S_{N_Q}(f) \begin{cases} S_N(f - f_c) + S_N(f + f_c), & -B < f < B \\ 0, & \text{caso contrário} \end{cases}$$
- ⑤ $n_I(t)$ e $n_Q(t)$ têm a mesma variância que o ruído de banda estreita $n(t)$.
- ⑥ Se $n(t)$ for Gaussiano, e $S_N(f)$ for simétrica em relação à frequência f_c , então $n_I(t)$ e $n_Q(t)$ serão estatisticamente independentes.

Notes

Exemplo: Ruído Branco Processado por um Filtro Passa-Faixa Ideal



$$\begin{aligned} R_N(\tau) &= \int_{-f_c-B}^{-f_c+B} \frac{N_0}{2} \exp(j2\pi f \tau) df + \int_{f_c-B}^{f_c+B} \frac{N_0}{2} \exp(j2\pi f \tau) df \\ &= N_0 B \operatorname{sinc}(2B\tau) [\exp(-j2\pi f_c \tau) + \exp(j2\pi f_c \tau)] \\ &= 2N_0 B \operatorname{sinc}(2B\tau) \cos(2\pi f_c \tau). \end{aligned}$$



Notes

Ruído de Banda Estreita: Envoltória e Fase

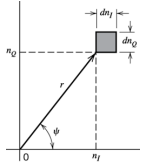
$$n(t) = n_I(t) \cos(2\pi f_c t) - n_Q(t) \sin(2\pi f_c t) = r(t) \cos[2\pi f_c t + \psi(t)]$$

onde,

$$r(t) = \sqrt{n_I^2(t) + n_Q^2(t)}, \quad \psi(t) = \tan^{-1} \left[\frac{n_Q(t)}{n_I(t)} \right]$$

$n_I(t)$ e $n_Q(t)$ num instante $t \rightarrow$ amostras de V.A.s Gaussianas independentes, N_I e N_Q , de média zero, variância σ^2 e pdf conjunta dada por:

$$f_{N_I, N_Q}(n_I, n_Q) = \frac{1}{2\pi\sigma^2} \exp \left(-\frac{n_I^2 + n_Q^2}{2\sigma^2} \right)$$



A probabilidade de N_I e N_Q situarem-se conjuntamente dentro da área sobreada é:

$$f_{N_I, N_Q}(n_I, n_Q) dn_I dn_Q = \frac{1}{2\pi\sigma^2} \exp \left(-\frac{n_I^2 + n_Q^2}{2\sigma^2} \right) dn_I dn_Q$$

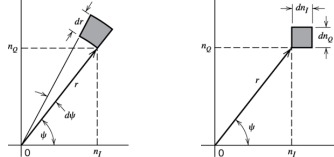
Notes

Ruído de Banda Estreita: Envoltória e Fase

Definindo a transformação,

$$n_I = r \cos \psi, \quad n_Q = r \sin \psi$$

No limite $\rightarrow dn_I dn_Q = r dr d\psi$



Sejam agora R e Ψ as V.A.s resultantes da observação (no mesmo tempo t) dos processos representados $r(t)$ e $\psi(t)$. Então, a probabilidade de R e Ψ situarem-se conjuntamente dentro da área sobreada é:

$$\begin{aligned} & \frac{r}{2\pi\sigma^2} \exp \left(-\frac{r^2}{2\sigma^2} \right) dr d\psi \\ \Rightarrow f_{R, \Psi}(r, \psi) &= \frac{r}{2\pi\sigma^2} \exp \left(-\frac{r^2}{2\sigma^2} \right) \end{aligned}$$

Notes

Ruído de Banda Estreita: Envoltória e Fase

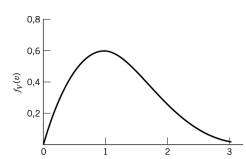
$$f_{R, \Psi}(r, \psi) = \frac{r}{2\pi\sigma^2} \exp \left(-\frac{r^2}{2\sigma^2} \right)$$

$$f_\Psi(\psi) = \begin{cases} \frac{1}{2\pi}, & 0 \leq \psi \leq 2\pi, \\ 0, & \text{fora} \end{cases}, \quad f_R(r) = \begin{cases} \frac{r}{2\pi\sigma^2} \exp \left(-\frac{r^2}{2\sigma^2} \right), & r \geq 0, \\ 0, & \text{fora} \end{cases}$$

Sejam

$$v = \frac{r}{\sigma}, \quad f_V(v) = \sigma f_R(r)$$

$$\Rightarrow f_V(v) = \begin{cases} v \exp \left(-\frac{v^2}{2} \right), & v \geq 0, \\ 0, & \text{fora.} \end{cases}$$



Distribuição de Rayleigh normalizada

Notes
